

## تحضير وتقدير أغشية بوليميرية رقيقة من الكيتوسان محملة بدواء الكلورامفينيكول كضمادات للجروح

م.م إيمان سعد علي - المديريّة العامّة لتربيّة البصّرة

### الخلاصة:

الغرض من هذا البحث هو تحضير وتطوير وتقدير تحرر الدواء المتوازن عبر الجلد من خلال تحويل دواء الكلورامفينيكول المستخدم في علاج التهاب الجروح على بوليمرات محبة للماء مثل الكيتوسان بطريقة تبخر المذيب ، استخدمت في هذه الدراسة مادة الكلورامفيناك التجارية وتم فصل وتنقية مادة الكلورامفينيكول باستخدام عدد من المذيبات وقياس درجة انصهارها وتعيين الطول الموجي الأعظم لها ( $\lambda_{max}$ ) لغرض التأكيد من نقاوتها ، تم تحضير هلاميات الكيتوسان على شكل عدد من الأغشية البوليميرية الرقيقة المحمّلة بدواء الكلورامفينيكول و بتراكيز مختلفة منه (0.1,0.2,0.3g) ، وكذلك حضرت نماذج أخرى بتغيير نسب البوليمير(1,2,3g) و شخصت النماذج المحضرة بمطيافية الأشعة تحت الحمراء والمسح التفاضلي المسعر (DSC) وبينت الدراسة إن التداخل بين المادة الدوائية والبوليمير يكون عن طريق الأواصر الهيدروجينية وتم دراسة نسب الدواء المتحرر من الأغشية البوليميرية الرقيقة في المحلول المنظم ( $pH=7.4$ ) أظهرت إن زيادة نسبة تحويل الدواء النظريّة تؤدي إلى زيادة تحرر الدواء من الأغشية البوليميرية الرقيقة عند دالة حامضية ودرجة حرارة ثابتة لذلك بينت الدراسة إن حركة الدواء تخضع للمرتبة الصفرية وان تحرر الدواء وفق آلية الانشار.

### Abstract

The purpose of this research work was to prepare, develop and evaluate controlled release transdermal delivery of chloramphenicol with hydrophilic polymers including: chitosan by solvent casting technique. We has used chloramphenicol injection which was available in the commercial pharmacies chloramphenicol was separated and was purified by using two solvents. To investigate from the purity of chloramphenicol , the melting point and  $\lambda_{max}$  were determined for the purpose of ascertaining the purity of the material used, and then was prepared gels chitosan and in the form of a number of thin polymeric film loaded with drug chloramphenicol and different concentrations ((0.1, 0.2, 0.3g), as well as other models change

polymer ratios (1,2,3 g) The samples were characterized by Fourier transform infrared spectroscopy, differential scanning calorimetry (DSC). In vitro release profiles were studied in pH=7.4, the result showed the release rates which were reduced upon increasing the amount polymer. The coefficient of determination indicated that the release data was best fitted with zero order kinetics. Higuchi equation explains the diffusion controlled release mechanism.

**الكلمات المفتاحية:- الكلورامفينيكول, كيتوسان, الأغشية الرقيقة, التحرر المسيطر عليه**

#### المقدمة :

تتطلب النتائج العلاجية المثلث ليس اختيار الدواء الصحيح فقط وإنما التوزيع الفعال للدواء أيضاً، أن جلد الإنسان هو سطح سهل الوصول إليه بسهولة لتوزيع الدواء ، خلال العقود الثلاثة الماضية أصبح توصيل الدواء المسيطر عليه مهمًا جداً في صناعة الأدوية إذ إن كلًا من التأثير العلاجي المطلوب والتأثيرات المعاكسة غير المرغوب فيها للدواء تعتمد على تركيز الدواء في موقع الفعل الذي يعتمد عليه تبعاً شكل الجرعة ومدى امتصاص الدواء في موقع فعل الدواء [1]

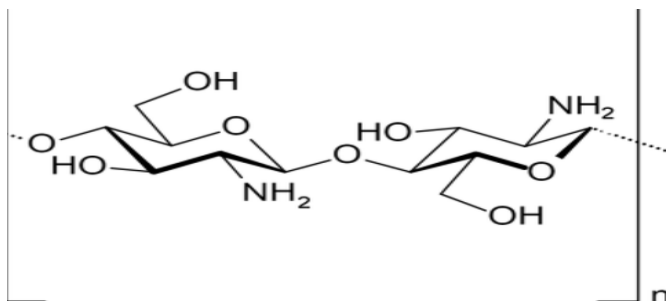
يمتلك جسم الإنسان اثنين من الأنظمة التي تقوم بحمايته من الكائنات الضارة الموجودة في البيئة، نظام الدفاع الداخلي الذي يهاجم الكائنات الدقيقة والبكتيريا التي قد تغزو الجسم بالفعل في حين يمنع نظام الدفاع الخارجي الكائنات الدقيقة الميكروبية دخول الجسم، وبعد جلد الإنسان أكبر نظام دفاعي خارجي يعطي السطح الخارجي للجسم ولديه وظائف أخرى بجانب إلية الدفاع فهو بمثابة حاجز ميكانيكي بين الجزء الداخلي من الجسم والوسط الخارجي [2] وتختلف درجة حرارة الجلد وتتراوح بين 30-40°C تبعاً للظروف والبيئة.

تعرف الجروح على أنها تمزق أو تهتك في الأنسجة ، سواء كان نسيجاً أو غشاء مخاطياً أو عضلات أو أوتاراً وأربطة ، أو حتى أووية دموية، ويمكن تصنيف الجروح وفقاً لطبيعة عملية الإصلاح إلى جروح مزمنة وجروح حادة، عادة تلتئم الجروح الحادة وإصابات الأنسجة في غضون 8-12 أسبوع وتعود الأسباب الرئيسية للجروح الحادة إلى الإصابات الميكانيكية (أي اتصال بين الجلد والسطح الصلب) والحرائق والإصابات الكيميائية، في حالة إصابات الحرائق فإن درجة حرارة المصدر ووقت التعرض للحرارة يحدد درجة الجرح وعادة تحتاج جروح الحرق إلى رعاية متخصصة بسبب الصدمة المرتبطة بها أما في حالة الجروح المزمنة فأنها تشفي ببطء وتترك ندب شديدة ويمكن أن تكون هناك أسباب مختلفة لعدم شفاء الجروح المزمنة بسرعة كالجروح الحادة وأكثر هذه الأسباب شيوعاً هو مرض السكري أو وجود التهاب يصاحبه عدم المعالجة مباشرة ومن أهم أنواع الجروح المزمنة هي التقرحات الوريدية .

يمكن للضمادات أن تصنف بعدة طرق، فهي يمكن أن تصنف على أساس الوظيفة في الجرح (ضمادات مضادات للجراثيم، ضمادات ماصة) أو تصنف على أساس المادة المستخدمة في

تصنيع الصمادة (كولاجين والغرونيات المائية) ويمكن تصنيفها على أساس الطبيعة الفيزيائية للصمادة (مرهم، غشاء رقيق، هلام) ويمكن لبعض الصمادات أن توضع بين عدد من التصنيفات لأنها تناسب خصائص معينة من كل صنف والصنف الأبسط للصمادات هو صمادات حديثة وتقلدية ومن أهم أنواع الصمادات هي الأغشية الرقيقة التي تستعمل كصمادات لاصقة مباشرة على الجرح أو صماد ثانوي غير لاصق وتعتبر الأغشية البوليمرية الرقيقة نصف نفاذ وهذا يعني بأنها تسمح بتبادل الأوكسجين والماء بين داخل الجرح وخارجه وفي نفس الوقت غير نفاذ للبكتيريا والسوائل الملوثة ويمكن استخدام هذا النوع من الصمادات للجروح التي تحتوي الكثير من المفرزات لأنها غير ماصة وتتوفر بيئه رطبة عن طريق انتقال البخار فقط أما في حالة استخدامها في الجروح ذات المفرزات الكثيرة فإنها من الممكن إن تسبب احتباس السوائل<sup>[3]</sup>

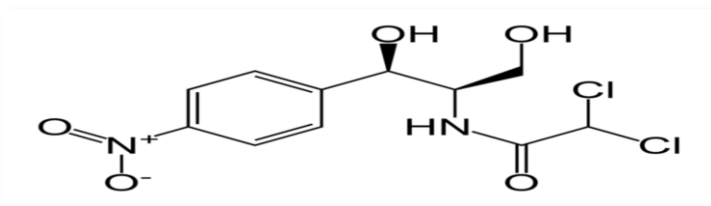
يشتق الكيتوسان من الكيتين وبعد بوليمر حيوياً طبيعياً يمتلك صفة الملائمة الحيوية وسمية منخفضة وذلك يجعله جيداً في السواغات الصيدلية في كلا التطبيقات التقليدية والمبتكرة<sup>[4]</sup> فهو يستعمل في توصيل الدواء عبر الجلد كلاصق مخاطي طبيعي مستعمل في أنظمة توصيل الدواء المبتكرة وله القابلية على إنتاج العديد من الأشكال المختلفة كما يظهر الشحنة الموجبة في الظروف الحامضية في توصيل الدواء وله القابلية على ربط نفسه بالجزيئات الأخرى ويعتبر كابحاً للجراثيم ومؤثر في الفطريات



الشكل(2) الوحدة البنائية للكيتوسان

ويعد الكلورامفينيكول هو النموذج الدوائي الذي تم اختياره في هذه الدراسة ويستعمل كمضاد حيوي نموذجي لديه القدرة على قتل مجموعةٍ واسعة من الجراثيم، حيث يتداخل مع إنتاج البروتينات التي تحتاج إليها الجراثيم للتكاثر والانقسام ويقوم بتثبيط تكوين هذه البروتينات، وهذا ما يحدُّ من قدرة الجراثيم على النمو، ويُوقف انتشار الدوى وله نشاط واسع ضد أنواع مختلفة من البكتيريا سلبية الغرام و موجبة الغرام الهوائية و اللاهوائية، وهو يقضي على الكائنات الدقيقة التي تسبِّب الأمراض في الحالات الخطيرة التي لا تستجيب للعلاج بالمضادات الحيوية الأخرى والتي تكون أكثر سلامة، الحيوية الرائدة في الاستخدام على نطاق واسع، وسرعان ما أثبتت هذه المادة أهميتها كعقار منقذ للحياة في مواجهة عدٍ من أوبئة التيفوس، وقد كان الأطباء يستخدمونه في

علاج أمراض أخرى متنوعة، بما في ذلك التهابات المجاري البولية، ويمكن للكلورامفينيكول أن يتناول عن طريق الفم أو الحقن والطرق الموضعية ولديه عمر نصف ساعتين فقط وأشارت البحوث إلى أن إعطاء الكلورامفينيكول بشكل مرهم للجروح بعد العملية أدى إلى انخفاض نسبي في معدل الإصابة حوالي 40 %، وله بنية كيميائية تختلف عن باقي المضادات الحيوية ويصنع كيميائيا حالياً بشكل كبسول فقط [7,6,5]



الشكل (3) التركيب الكيميائي للكلورامفينيكول

## 2- المواد المستخدمة وطرق العمل

### 2-1 المواد المستخدمة

-حامض كيتوسان (Germany,Sigma-Aldrich) Chitosan (BDH)Chloramphenicol Acetone (Germany,Sigma-Aldrich)Glacial acetic acid 99% - اسيتون (Germany,Sigma-Aldrich)Acetone - اسيتون (England, B.D.H.)Diethyl ether - شائي أثيل ايثر (Spain,Scharal) - ميثانول (UK,GCC.)Methanol Hi ( ) Dialysis Bag cut off (12000-14000)Kda ( Mumbai India,Media Lab ).

### 2- طرق العمل

#### 1-2-2 فصل و تنقية مادة الكلورامفينيكول (Cloramphenicol)

استخدمت مادة الكلورامفينيكول التجارية المتوفرة في الصيدليات ، إذ جرى فصل مادة الكلورامفينيكول وتنقيتها باستخدام عدد من المذيبات ( Methanol, Ether, Acetone, distilled water ) [9,8]، بعدها جفت المادة الناتجة باستخدام الفرن بدرجة حرارة  $5 \pm 100$  درجة حرارة.

#### 2-2-2 تحضير الأغشية الرقيقة من الكيتوسان

أذببت كميات مختلفة من الكيتوسان ( 1,2,3g ) في ( 50 ml ) من حامض الخليك ( 1% ) ( v/v ) من الكلسيرون اذ يستخدم هنا كملدن ) وحرك المزيج بوساطة المازج المغناطيسي لمدة ساعات إلى حين ذوبان الكيتوسان والحصول على معلق رائق ، ثم يصب على شريحة زجاجية بشكل غشاء رقيق.

يحمل الناتج بـ(50) ملغم من الكلورامفينيكول المذاب في(1ml) من الماء المقطر ويعمل كأغشية رقيقة أيضا ويرمز للنماذج المحضرة F1,F2,F3.

كما حضرت نماذج أخرى من الأغشية البوليمرية بنفس الطريقة ولكن بتغيير نسبة الدواء 0.3, 0.1, 0.2 غرام من الكلورامفينيكول و تثبيت نسبة البوليمر(الكيتوسان) (1غرام) ورمز لهذه النماذج المحضرة بالرموز CAP1,CAP2,CAP3 كما موضح في الجدول 1 او<sup>[10]</sup>.

**الجدول (1)، (2) نماذج الأغشية الرقيقة وأوزان البوليمرات المستخدمة**

وزن المادة الدوائية بـ mg			وزن البوليمر (الكيتوسان) بـ mg		
رمز الصيغة	وزن المادة الدوائية بـ mg	وزن البوليمر (الكيتوسان) بـ mg	رمز الصيغة	وزن المادة الدوائية بـ mg	وزن البوليمر (الكيتوسان) بـ mg
F1	0.2	1000	CAP1	0.1	1000
F2	0.2	2000	CAP2	0.2	1000
F3	0.2	3000	CAP3	0.3	1000

## **2-دراسة التحرر البطيء للكلورامفينيكول من الأغشية الرقيقة خارج الجسم الحي**

قيس نسبة الكلورامفينيكول المتحرر من النماذج المحضرة إذ استخدم أكثر من نموذج للعينة الواحدة لتجنب الخطأ و باستعمال أكياس الديلز، غسلَ كيس الديلز في الماء المقطر وثم وضع الكيس المحتوي على الأغشية الرقيقة في (100ml) من محلول المنظم (pH=7.4) وأضيف 0.03% sodium azide (w/w) لمنع النمو البكتيري ، وضعت النماذج جميعها في قناني حجمية مغلقة و معقمة ووضعت هذه القناني في جهاز الرج بسرعة(160) دوره/ثانية عند 37C° و عند فترات زمنية محددة قيس تركيز الكلورامفينيكول عند طول موجي (278) نانومتر باستخدام مطيافية الأشعة فوق البنفسجية-المروئية.

## 4- دراسة نسب الانتفاخ للتراكيب المحضررة

دُرست حساسية التراكيب المحضررة للدالة الحامضية بقياس نسب انتفاخها في المحلول المنظم (pH=7.4), إذ وضعت الأغشية الرقيقة من النماذج المحضررة بوزن (1mg) في (50 ml) من كل من المحلول السابق عند درجة حرارة (37°C) وخلال أوقات مختلفة رفعت النماذج ووضعت على ورقه ترشيح للتخلص من السائل الزائد وحسبت نسبة الانتفاخ حسب المعادلة التالية:

$$Q = \frac{W_s - W_d}{W_d}$$

إذ تمثل Q نسبة الانتفاخ و  $W_s$  يمثل الأغشية الرقيقة المنتفخة و  $W_d$  يمثل وزن الغشاء الجاف وحسبت نسبة الانتفاخ خلال 24 ساعة.

## 5- تشخيص الدواء والنماذج المحضررة

أ- التشخيص بمطيافية الأشعة فوق البنفسجية – المرئية *UV-VIS Spectroscopy*:- أخذ طيف الأشعة فوق البنفسجية – المرئية للكلورامفينيكول بإذابة وزن معين منه في محلول (pH=7.4) ولمدى من الأطوال الموجية يتراوح بين (500-200) نانومتر.

ب- التشخيص بمطيافية الأشعة تحت الحمراء *FTIR-Spectroscopy*:- سجل طيف الأشعة تحت الحمراء FTIR في المنطقة المحصورة بين ( $4000-400 \text{ cm}^{-1}$ ) للأغشية الرقيقة بدرجة حرارة الغرفة عليهيئة قرص من مادة بروميد البوتاسيوم KBr وأغشية بوليمرية رقيقة.

ج- المسح التفاضلي المسعرى *(DSC)* Differential Scanning Calorimetry الحاله الفيزيانية للكلورامفينيكول في الأغشية الرقيقة حلت بجهاز المسح الحراري التفاضلي الدقيقة استخلصت بمعدل  $10^{\circ}\text{C}/\text{min}$  / بمدى درجة حرارة  $300-25^{\circ}\text{C}$  على التعقب.

## 6- دراسة حركية التحرر Kinetic Releas Study

لاختبار حركية الدواء وميكانيكية التحرر طبقت المعادلات التالية :

1. معادلة المرتبة الصفرية Zero order

$$Q_t = Q_0 + K_0 t$$

2. معادلة المرتبة الأولى First order

$$\ln Q_t = \ln Q_0 + K_1 t$$

3. معادلة Higuchi's

$$(\%) Q = K_{H^*} t^{1/2}$$

4. معادلة Korsmeyer-Peppas

$$M_t/M_\infty = K \cdot t^n$$

حيث:

$Q_t$ : كمية الدواء المتحرر عند الزمن  $t$

$Q_0$ : كمية الدواء الابتدائية في المحلول عند الزمن  $t=0$

$K_0$  : ثابت معادلة المرتبة الصفرية

$t$  : الزمن

$K_1$  : ثابت معادلة المرتبة الأولى

$K_H$  : ثابت التحرر وفق نمط هيغوشي

$Mt/M_\infty$  : كمية الدواء المتحررة خلال الزمن  $t$

$K$ : ثابت التحرر وفق كورس ماير - بيباس

$n$  : دالة تستخدم لوصف آليات التحرر

### 3- النتائج والمناقشة

#### 3-1 فصل و تنقية مادة الكلورامفينيكول(Cloramphenicol)

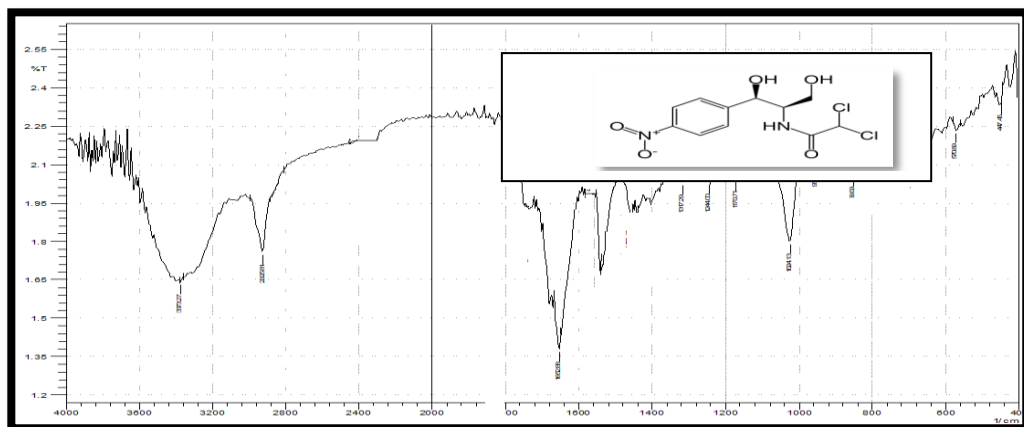
للغرض التأكيد من نقاوة الكلورامفينيكول قيست درجة الانصهار للمادة بعد التجفيف وكانت ضمن مدى نفسه للمادة النقية ( $151.5-155.5^{\circ}\text{C}$ ) و كما هو منشور في العديد من الأدبيات<sup>[11]</sup>. وهذا يدل على أن المادة المعزولة كانت نقية و خالية من الشوائب، إذ كانت درجة الانصهار للمادة المنقاة ( $150^{\circ}\text{C}$ ) درجة مئوية كذلك عينت الم( $\lambda_{\text{max}}$ ) الكلورامفينيكول استخدام جهاز (Heliosa V4.60 UV-Visible spectrophotometer). إذ ظهرت قمة في طول موجي (278nm) وهذا موافق لما جاء في العديد من الأدبيات.<sup>[12]</sup>

#### 3-2 أطيف الأشعة تحت الحمراء Infrared Spectra

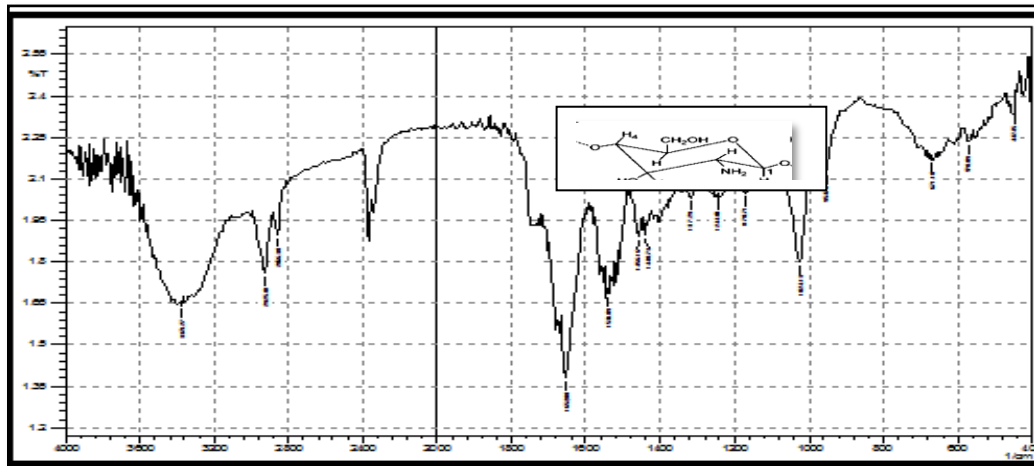
الأشكال (3-5) توضح أطيفات تحت الحمراء للبوليمرات والدواء المستخدم خلال الدراسة الحالية عند المدى ( $500-4000\text{ cm}^{-1}$ ) وبهيئة دisk من المادة وملح KBr أو رقائق بوليمرية رقيقة الشكل (3) يوضح طيف الأشعة تحت الحمراء للكلورامفينيكول إلاد تميز الطيف بظهور حزمة عند ( $3400\text{ cm}^{-1}$ ) تعود إلى لمجموعة O-H وتميزت بالاتساع وكذلك ظهور حزمة امتصاصية ( $2933\text{cm}^{-1}$ ) والتي تعود إلى الاهتزاز للمجموعة C-H الاروماتية كما تميز بظهور حزمة واضحة

عند  $1647\text{ cm}^{-1}$  ) تعود إلى الاهتزاز لمجموعة  $\text{C=O}$  وظهور حزمه عند  $(1530\text{cm}^{-1})$  و  $(1517\text{cm}^{-1})$  تعود إلى مجموعة  $\text{N-O}$ , كذلك حزمه امتصاص في  $(1346,876\text{cm}^{-1})$  تعود إلى  $\text{C-N}$  و  $\text{O-C}$  على التوالي.<sup>[13]</sup>

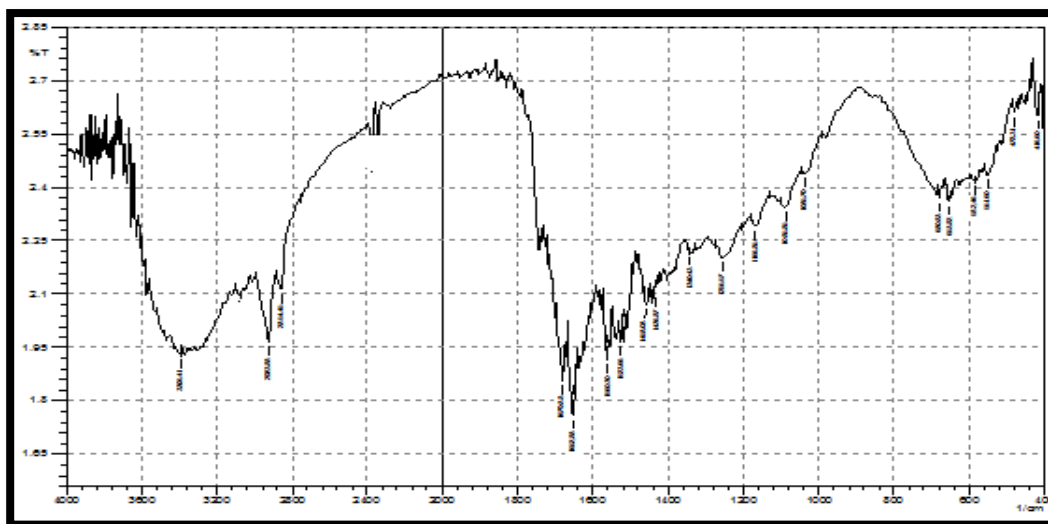
الشكل (4) طيف الاشعة تحت الحمراء للكيتوسان إذ تميز بظهور حزمه عند  $(3300\text{cm}^{-1})$  تعود إلى مجموعة  $\text{N-H}$  الكيتوسان ، كما ظهرت حزم امتصاص عند  $(2940, 2860\text{cm}^{-1})$  تعزى إلى الاهتزاز غير المتماثل و المتماثل للأصرة ( C-H ) الاليفاتية كما ظهرت حزم عند المدى  $(1033-1149\text{ cm}^{-1})$  تعزى إلى مجموعة  $\text{C-O-C}$ <sup>[14]</sup> والشكل (5) طيف الاشعة تحت الحمراء لغشاء الكيتوسان المحمل بالمادة الدوائية الكلورامفينيكول إذ تميز الطيف حزمه  $\text{O-H}$  في الموقع  $\text{cm}^{-1}$  3369 اي بين موقع  $\text{O-H}$  للكلورامفينيكول والكيتوسان مما يدل على حدوث التداخل الهيدروجيني بين الكيتوسان والمادة الدوائية كذلك نلاحظ ظهور حزمتين عند  $(2923,2854\text{ cm}^{-1})$  تعود إلى مجموعة  $\text{C-H}$  الاليفاتية كذلك تميز الطيف بظهور حزمه عند  $(1679\text{ cm}^{-1})$  تعود إلى  $\text{C=O}$  الاميد الناتجة عن التداخل<sup>[15]</sup>.



الشكل (3) طيف الاشعة تحت الحمراء للكلورامفينيكول



الشكل(4) طيف الاشعة تحت الحمراء للكيتوسان

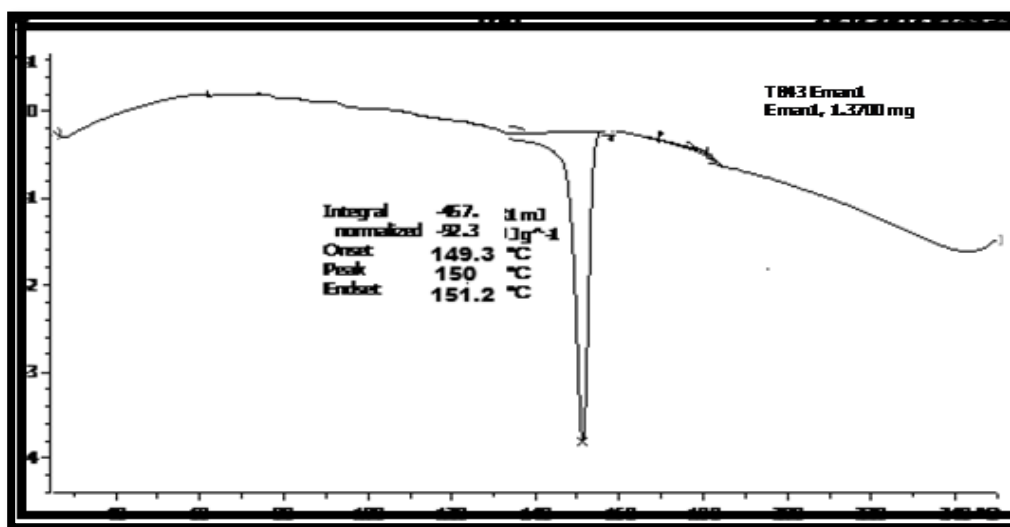


الشكل(5) طيف تحت الحمراء للكيتوسان المحمول بالمادة الدوائية

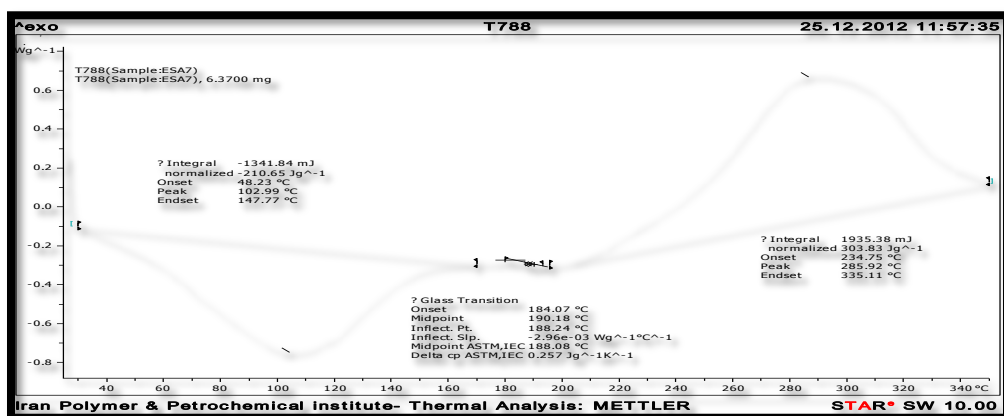
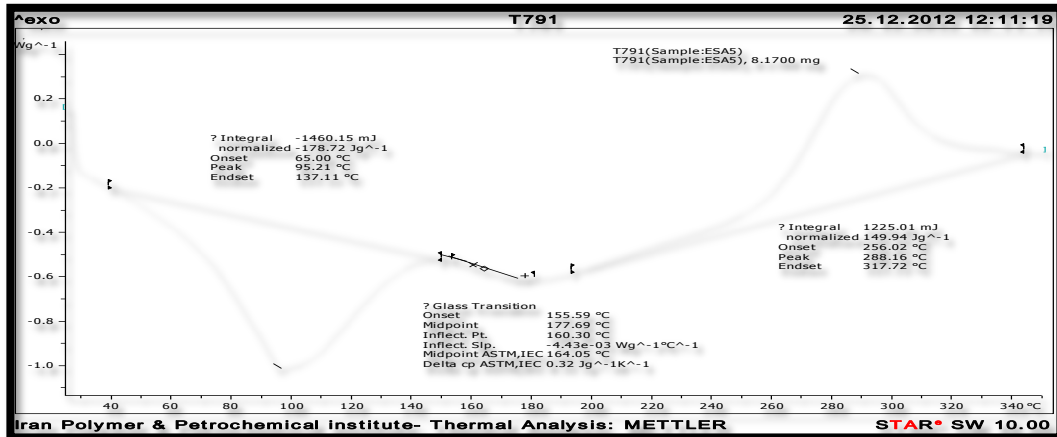
### 3-3 المسح التفاضلي المسعرى Scanning Calorimetry Differential

الأشكال (6-8) توضح تحاليل المسح التفاضلي المسعرى لكل من المادة الدوائية والأغشية البوليمرية المحضرة إذ أظهرت تحاليل المسح التفاضلي المسعرى للكلورامفينيكول النقي ذروة حادة ماصة للحرارة (endotherm peak) عند الموقع (150°C) تشير إلى درجة انصهار الكلورامفيناك وهذا يتفق مع ما جاء في العديد من الأدبيات<sup>[10]</sup>. أظهرت تحاليل المسح التفاضلي المسعرى لغشاء الكيتوسان الرقيق ذروة عريضة ماصة للحرارة (endothermic peak) مركزة عند (95.21°C) تعود إلى فقدان الماء بسبب وجود المجاميع المحبة للماء في البوليمر و الذروة الباوأة للحرارة (exothermic peak) والتي تظهر بين (256°C - 317.12°C) ومركزها عند (288°C) تدل على تحلل البوليمر أو تفككه للبوليمر وهذا مطابق للتحلل الحراري للكيتوسان الذي يبدأ عند حوالي (250°C)<sup>[16]</sup>.

الشكل (8) يوضح المسح التفاضلي للأغشية الرقيقة المحملة بوضوح تحليل المسح الحراري التفاضلي لغشاء الكيتوسان المحمل وجود تغير طفيف في موقع الذروات لغشاء الكيتوسان غير المحمل بالكلورامفينيكول وتميز بظهور ذروة ماصة للحرارة عند (102.99°C) تشير إلى محتوى الرطوبة وكما أزيحت الذروة الباوأة للحرارة إلى (285°C) في حين تغيرت درجة الانتقال الزجاجي من (177.69°C) إلى (190°C) وهذا يشير إلى حصول التداخل الهيدروجيني بين المادة الدوائية (الكلورامفينيكول) والبوليمر (الكيتوسان).



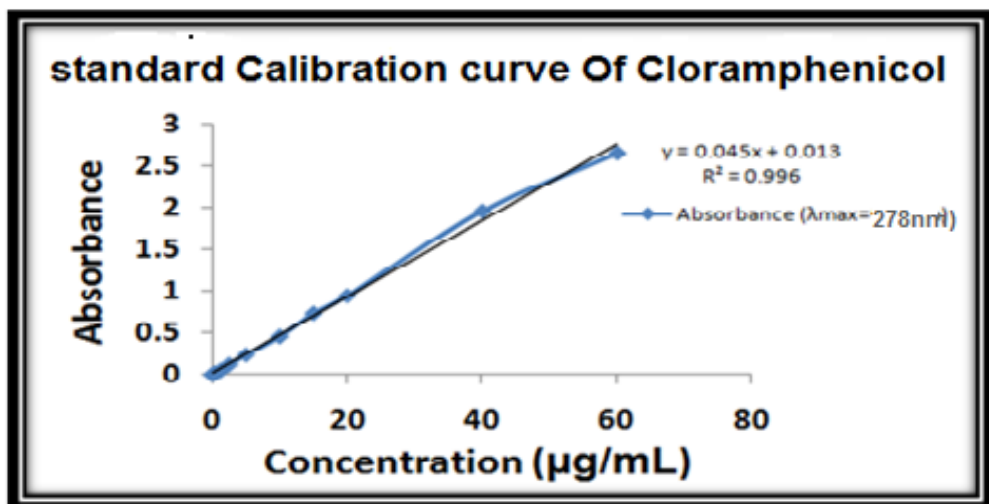
الشكل (6) منحنى المسح التفاضلي المسعرى للكلورامفينيكول المنقى



الشكل (8) منحنى المسح الحراري التفاضلي لغشاء الكيتوسان المحمّل بالكلورامفينيكول

### الكان الحي 4- دراسة الإطلاق البطىء للكلوراميفيناك من شبکية الأغشية البوليميرية الرقيقة خارج جسم

عُين تركيز الكلورامفينيكول خلال فترات زمنية مختلفة من الخط المستقيم الناتج من رسم الامتصاصية مقابل التركيز في منحني المعايرة تبعاً لقانون بير - لامبرت . نسبة تحرر الكلورامفينيكول من النماذج ثم توبعت في المحلول المنظم ( $\text{pH}=7.4$ ) عند درجة حرارة ثابتة( $37^\circ\text{C}$ ) يمثل الشكل (9) منحني المعايرة القياسية لـ الكلورامفينيكول في المحلول المنظم ( $\text{pH}=7.4$ )



شكل(9) منحني المعايرة القياسي لـ الكلورامفينيكول

### 3- دراسة تأثير تركيز البوليمر على التحرر البطيء لـ الكلورامفينيكول من الأغشية البوليمرية

#### الريقة

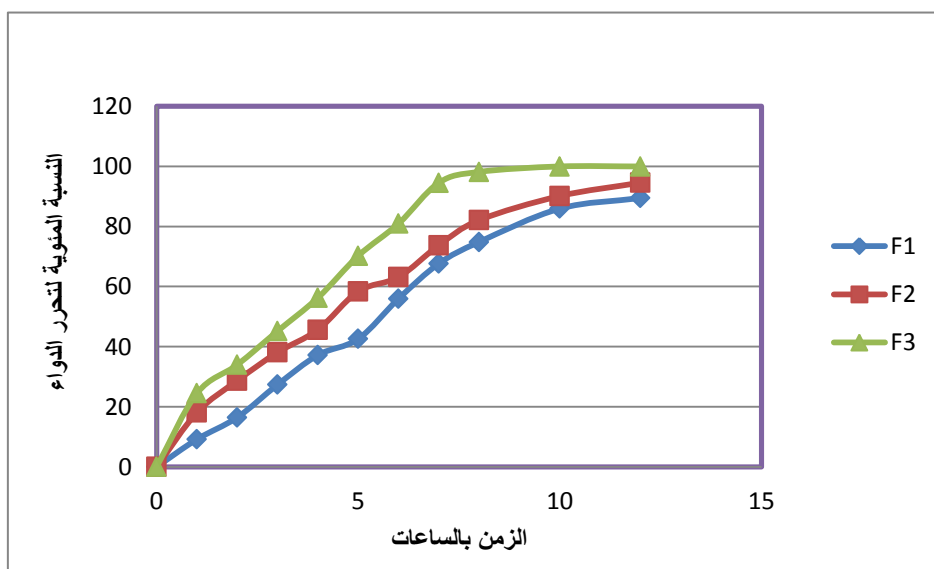
الشكل (10) يوضح التحرر المسيطر عليه خارج جسم الكائن الحي للأغشية الرقيقة المحملة بالكلورامفينيكول للصيغة الموضحة في الجدول (3) لمدة زمنية 720 دقيقة إذ أظهرت أن التحرر يأخذ التسلسل  $F_1 < F_2 < F_3$  وهذا يرجع إلى القدرة العالمية لمجاميع  $\text{NH}_4$  الموجودة في هلام الكيتوسان على تكوين أواصر هيدروجينية مع الماء وبسبب هذا التصرف تزداد نسبة الانفراخ للنماذج المحضرة كلما زاد تركيز الكيتوسان و هذا يعني أن حجم الفتحات (Pore size) في الهلام أكبر في ذلك تعطي حرية حركة أكثر للدواء و لذلك أظهرت هذه النماذج أعلى نسبة لتحرير للصيغة  $F_3$  كما أن زيادة كمية البوليمر المحب للماء يؤدي إلى نشر الدواء إلى خارج شبكة البوليمر ومن ثم تخلق قنوات ومسامات لتحرير الدواء خارج الشبكة البوليمرية [16-20].

وقد أظهرت الدراسة أن تحرر الدواء من الصيغ في نهاية 722min كانت كالتالي :

$$(F_1=89.45 \% , F_2=94.56 \% , F_3=99.96 \%)$$

جدول(3) النسبة المئوية لتحرير الكلورامفينيكول

F1	F2	F3	Time(hr)
0.00	0.00	0.00	0
9.18	18.10	24.482	1
16.45	28.71	33.976	2
27.37	38.12	45.191	3
37.21	45.65	56.267	4
42.58	58.41	70.225	5
55.98	63.15	80.944	6
67.66	73.77	94.544	7
74.84	82.10	98.155	8
85.93	90.12	99.966	10
89.45	94.56	99.96	12



الشكل (10) تأثير نسبة البوليمر في معدل التحرر من الأغشية البوليمرية

من الشكل (11) الذي يوضح نموذج التحرر من شبكة الغشاء المسامي للكيتوسان الهلامي المحمى بنسب مختلفة من الكلورامفينيكول في الوسط المتعادل  $pH=7.4$  وعند درجة حرارة ثابتة , ويوضح

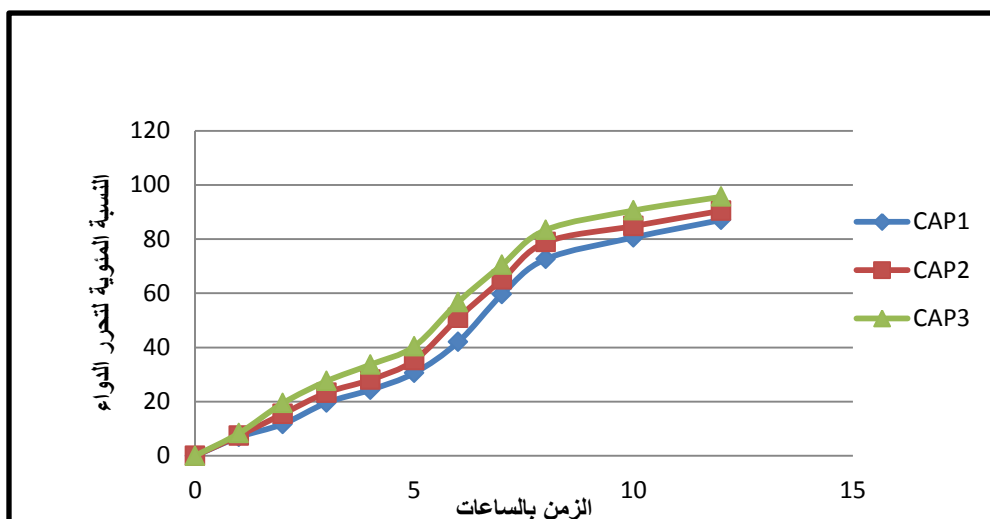
الجدول (4)

CAP3	CAP2	CAP1	Time(h)
0.00	0.00	0.00	0
8.30	7.40	6.90	1
19.40	15.45	11.71	2
27.56	23.29	19.59	3
33.66	28.09	24.35	4
40.42	35.24	30.56	5
56.72	50.87	41.98	6
70.48	65.05	59.58	7
83.39	78.85	72.64	8
90.54	84.81	80.59	10
95.62	90.45	87.07	12

#### جدول(4) نسب الكلورامفينيكول المتحرر

نسب الكلورامفينيكول المتحرر من النماذج(CAp1,CAP2,CAP3) خلال 720 دقيقة أي ما يعادل 12 ساعة, إذ نلاحظ إن نسبة التحميل تزداد بزيادة تركيز الدواء المحمى في الوسط المتعادل إذ تشير النتائج ان كمية التحرر للكلورامفينيكول تزداد بزيادة المادة الفعالة وهذا ينبع إلى إن زيادة الكمية المحمولة من الدواء تسبب سرعة الحركة إلى مقدمة المذيب وتكون بذلك قادرة على اختراق سطح الغشاء الهلامي المحمى وهذا منسوب إلى حجم الفراغات الحرية المتوفرة في شبكة الغشاء [22,21].

الشكل (11) تأثير نسبة تحصيل الدواء في معدل التحرر من الأغشية البوليمرية

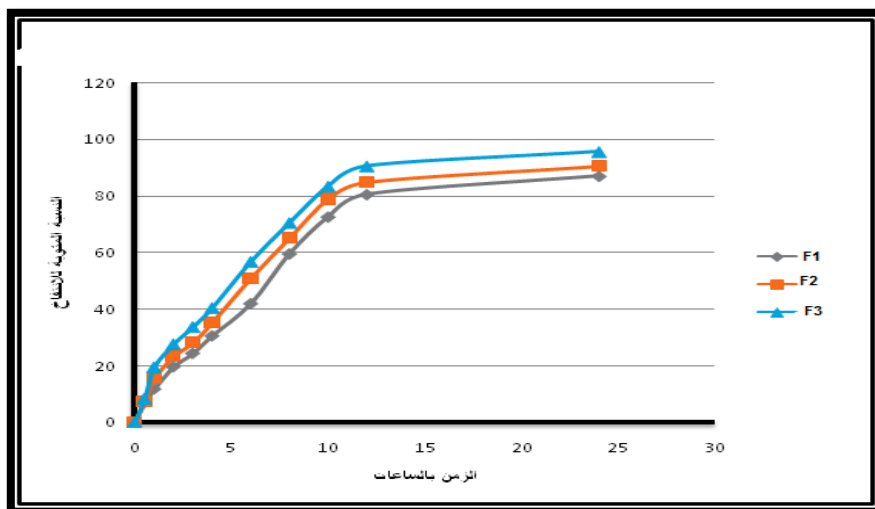


### 6-3 دراسة نسب الانتفاخ للتراكيب المحضره (Swelling Ratio Study for preparation films)

يبين الجدول (5) تأثير الدالة الحامضية على نسب الانتفاخ للتراكيب F1,F2,F3 بعد مرور 24 ساعة من وضعها في المحلول المنظم ( $\text{PH}=7.4$ ), إذ لوحظ زيادة نسبة الانتفاخ بزيادة تركيز الكيتوسان [24]

جدول(5) نسب الانتفاخ للتراكيب المحضره

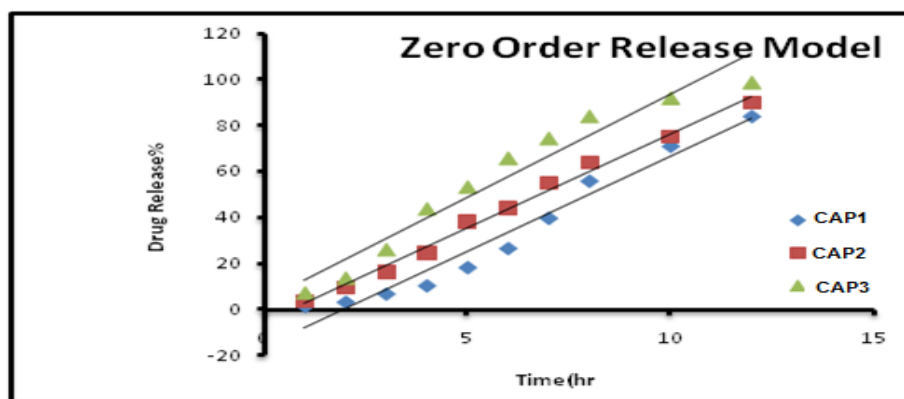
النموذج	نسبة الانتفاخ
F1	3.45
F2	4.56
F3	5.77



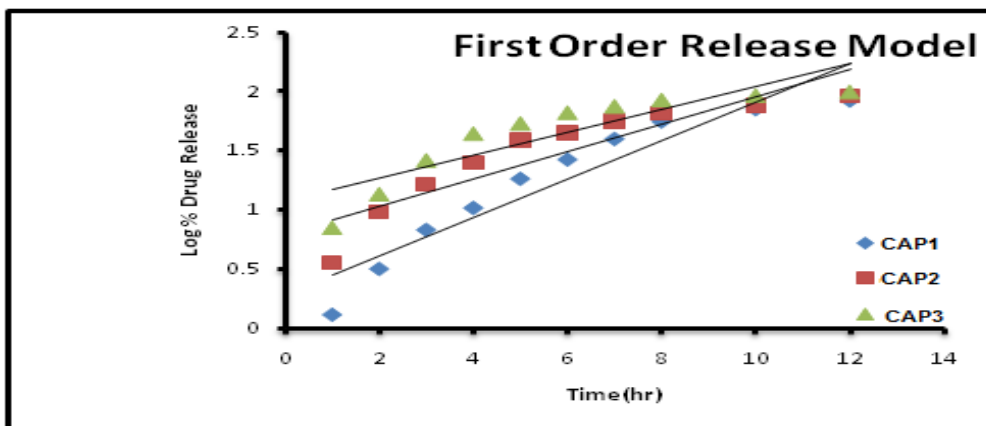
الشكل (12) النسب المئوية للانفاسخ

### 7-3 دراسة ميكانيكية التحرر من الصيغ المحضرة

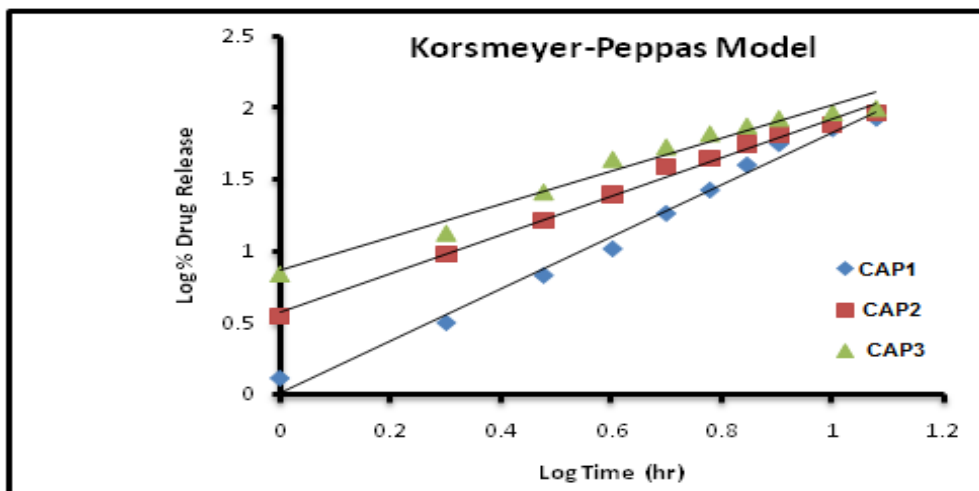
تمت دراسة أنماط حركة التحرر من الصيغ المحضرة وفق معادلات : الرتبة الصفرية ، المرتبة الأولى ، معادلة هيغوشى ومعادلة كورس ماير - بيباس . حيث نلاحظ انه عند تطبيق هذه المعادلات على الصيغ المدروسة وفي المحيط المتوازن وكما تبين النتائج الموضحة في الجدول رقم (6) والأشكال(16-13).



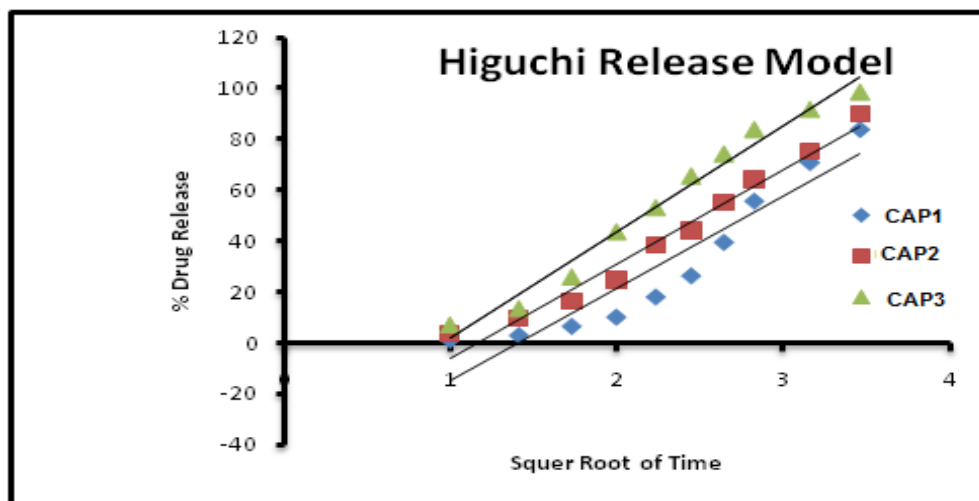
شكل (13) : حرکية تحرر الدواء من المرتبة الصفرية للأغشية الرقيقة وبنسب مختلفة من CAP



شكل (14) : حرکية تحرر الدواء من المرتبة الاولى للأغشية الرقيقة وبنسب مختلفة من CAP



شكل (15) : حرکية تحرر الدواء وفق معادلة كورس ماير- بيباس للأغشية الرقيقة وبنسب مختلفة من CAP



شكل (16) : حرکية تحرر الدواء وفق معادلة هیغوشی للأغشية الرقيقة بنسب مختلفة من CAP

الجدول (6) قيم معلم الارتباط لمختلف الصيغ المحضررة

رمز الصيغة	مرتبة الصفرية	المرتبة الأولى	نوع	نموذج كورس ماير- بيباس	
				R <sup>2</sup>	'n'value
CAP1	0.962	0.895	0.890	0.988	0.014
CAP2	0.991	0.829	0.973	0.992	0.576
CAP3	0.945	0.777	0.979	0.972	0.861

نلاحظ من الجدول (6) إن آلية تحرر الدواء من الصيغ المحضررة تتم وفق المرتبة الصفرية كما تدل قيم معلم الارتباط R<sup>2</sup> المرتفعة إذ تتراوح ما بين (0.992-0.972) ، وان تحرر الدواء من الأغشية الرقيقة المحضررة يتم وفق آلية الانتشار وهذا ما نلاحظه من قيم معلم الارتباط R<sup>2</sup> المرتفعة وفق نمط هیغوشی حيث تتراوح ما بين (0.979-0.890). أما بالنسبة لمعادلة كورس ماير- بيباس فقد حسبت قيمة الدالة n (المعلم الأسوي للتحرر Release exponent) وهي تشير إلى نمط التحرر من الشكل الصيدلاني. علاوة على ذلك حساب قيم R<sup>2</sup> كما موضح في الجدول رقم (4) حيث نلاحظ بأن هذه القيم تؤكّد وتدعّم ما تمت مناقشته أعلاه بالنسبة للصيغ المحضررة. كما يبيّن الجدول (4) أيضاً آليات التحرر وفق الدالة (n) . إذ نلاحظ عندما تكون (n ≤ 0.45) فإن آلية التحرر تجري على وفق قانون فيك للانتشار Fickian diffusion mechanism<sup>(26,25)</sup>

#### 4-فوائد صيغ الإطلاق طويل الأمد للكلورامفينيكول

نظراً لأهمية الكلورامفينيكول في العلاج وفوائده الديناميكية الدوائية على العوامل العلاجية الأخرى. فان مستحضر الإطلاق المستمر للكلورامفينيكول كلصقة جلدية لمعالجة التهابات الجروح ليس فقط سيحسن امثال المريض العلاج لكن أيضاً قد يحسن الفيزيولوجيا المرضية وهذه الصيغ ستقدم فوائد مثل التخفيف في عدد الجرع في اليوم الواحد والتي تؤدي إلى تحسين امثال المريض للعلاج، تقليل التقلبات اليومية في مستويات الكلورامفينيكول والذي سيكون الخيار الجيد للمزاج العلاجي مع عوامل علاجية أخرى.

#### المصادر

- [1] Sherwood *Human Physiology: From cells to systems*, 6th Edition, Thomson Brooks, Stamford,2007.
- [2]Dokka, S., Cooper, S.R., Kelly, S., Hardee, G.E. and Karras, J.G., J. Invest. Dermatol.,124, 971-5, (2005).
- [3]K. Ferderber, S. Hook and T. RadesPhosphatidyl choline-based colloidal systems for dermal and transdermal drug delivery.*Journal of Liposome Research* 19, 267-277,2009.
- [4] VivekanandPrajapati, MayankBansal, Pramod Kumar Sharma, Int.J.PharmTech Res.,4(2),2012.
- [5] Stuart J. Adams<sup>1</sup>, Katharina Heinrich<sup>1</sup>, Richard J. Fussell<sup>1</sup>, Selwyn Wilkins, Helen M. Thompson, Helen M. Ashwin<sup>1</sup>, Matthew SharmanINRA/DIB-AGIB/ EDP Sciences,, Apidologie 39 , 537–546,2008.
- [6]R.A. Helms, D.J. Quan, E.T. Herfindal, D.R. Gourley (2006) *Textbook of Therapeutics, Drug and Disease Management*, 7<sup>th</sup> Edition, Lippincott Williams &Wilkins, Philadelphia.
- [7] Mohammed A. MutarChloramphenicol controlled release from Poly(acrylic acid-co-methyl methacrylate)hydrogel,, Journal of Basrah Researches ((Sciences)) Volume 38. Number 4 .A ( 2012).
- [8] O'Nei I, M.J. (ed.). *The Merck Index - An Encyclopedia of Chemicals, Drugs, and Biologicals*. 13th Edition, Whitehouse Station, NJ: Merck and Co., Inc., 2001., p. 356

[9] Lide, D.R. CRC Handbook of Chemistry and Physics 86TH Edition 2005-2006. CRC Press, Taylor & Francis, Boca Raton, FL 2005, p. 3-168

[10] AnandBabu Dhanikula,1 and Ramesh Panchagnula1, *The AAPS Journal*; 6 (3),2004.

[11]The Merck Index, 11th ed., Entry# 2068.

[12] Molecular Cloning: A Laboratory Manual, 3rd ed., Sambrook, J. F., et al., Cold Spring Harbor Laboratory Press (Cold Spring Harbor, NY: 2001.

[13]. S. Karthikeyan,*Arch. Phy. Res.*, 2011, 2 (4)

[14]- R. Ramya, P.N. Sudha, Dr.J.Mahalakshmi, International Journal of Scientific and Research Publications, 2, 10,2250-3153,, 2012.

[15]-Svetlana Zivanovic, Jiajie Li, P. Michael Davidson, and Kevin Kit, Biomacromolecules,8, 1505-1510,2007.

[16]- Aydan Gülsu1, Hakan Ayhan2, FatmaAyhan ,Turk J Biochem, 37, (2) ; 120–128.(2012).

[17] TaravatGafourian, Arezoo Safari, KhosroAdibkia, FatemehParviz,

Ali Nokhodc, JournalOf Pharmaceutical Sciences, 96, (12), 2007

[18]-HiremathJg, MdSarfaraz , D Hiremath , Sa Sarudkar, Indian Journal of Novel Drug Delivery 1(1), 18-24 ,( 2009).

[19]- Mahmoud El-Badry ,Bull. Pharm. Sci., Assiut University, Vol. 31, (1)123-135 , ( 2008).

[20]-Shailesh T. Prajapati, Charmi G. Patel, and Chhagan N. Patel, International Scholarly Research Network, ISRN Pharmaceutics Volume 2011, Article ID 651909 .

[21]- AlanaziF.K., Abdel RahmanA.A. , MahrousG.M., AlsarraI.A., J. Drug Del. Sci., 17, (3) 183-192 (2007).

[22]- Wang Zh,HouX,MaoZh, Ye R,MoY,FinlowDE,IranPolym J,17,191-798,2008.

[23] Wang Zh, Hou X, Mao Zh, Ye R, Mo Y, Finlow DE, Synthesis and characterization of biodegradable poly(lactic acid-co-glycine) via direct melt copolymerization, Iran Polym J, 17, 791-798, 2008.

[24] The Su Moe, Tin Aye Khaing, ThaZin Han, and HlaMyat Mon, Effects of chitosan filmson wound healing and evaluation of theirproperties, *Proc. International Conferenceon Sustainable Development: Issues and Prospects for the GMS 12-14 Nov.*, 2008.

[25] Lowman A .M.,PeppasN.A,Encyclopeia of Controlled Drug Delivery, Wily,NewYork,397-418,(1999).

[26] Adriano V .Reis,MarcosR.Guilherme, AdleyF.Rubira,Edvani C. Muniz,Journal of Colloid and Interface Science, 310 ,128-135,(2007).